

05;11;12

**СОСТОЯНИЕ ПОВЕРХНОСТИ
МОНОКРИСТАЛЛИЧЕСКИХ ВОЛЬФРАМОВЫХ
ЭМИТТЕРОВ С “ВНУТРЕННИМ” ИСТОЧНИКОМ
КИСЛОРОДА ДЛЯ ТЕРМОЭМИССИОННЫХ
ПРЕОБРАЗОВАТЕЛЕЙ ЭНЕРГИИ
С КИСЛОРОДНОЙ ДОБАВКОЙ**

© В.П.Кобяков

Институт структурной макрокинетики РАН,
142432 Черноголовка, Московская область, Россия
(Поступило в Редакцию 27 марта 1995 г.)

Исследовано состояние поверхности кислородсодержащих монокристаллических вольфрамовых эмиттеров в интервале температур 1600–2100 K при поступлении кислорода из объема эмиттера на поверхность и одновременном обмене кислородом между поверхностью и разреженной газовой средой, окружающей эмиттер. Показано принципиальное различие в эмиссионном поведении вольфрамовых эмиттеров с “внешним” и “внутренним” источниками кислорода в исследованном температурном интервале. Показано, что появление нелинейной температурной зависимости связано с диффузионным выходом кислорода из объема монокристаллического вольфрама на поверхность эмиттера. На основании данных по составу поверхности и объема монокристаллического вольфрама с привлечением ранее опубликованных результатов дается толкование наблюдаемых эффектов.

1. В работах [1,2] для введения кислорода в межэлектродное пространство термоэмиссионного преобразователя энергии (ТЭП) с кислородной добавкой и с монокристаллическими электродами было предложено использовать “внутренний” по отношению к эмиттеру источник кислорода, интегрированный с материалом эмиттера — с монокристаллическим вольфрамом. Была разработана соответствующая технология газофазного эпитаксиального выращивания трубчатых кристаллов вольфрама с объемным содержанием кислорода до 10^{-2} – 10^{-3} мас. %. Исследование эмиссионных свойств кислородсодержащего монокристаллического вольфрама показало [3,4], что температурная зависимость работы выхода эмиттеров, изготовленных из такого материала, резко отличается своей нелинейностью от аналогичной характеристики для эмиттеров, изготовленных из монокристаллического вольфрама, в котором содержание кислорода не превышает 10^{-4} – 10^{-5} мас. %.

В данной работе проведено исследование поверхности и приповерхностных слоев кислородсодержащего монокристаллического вольфрама, обсуждаются различия между вольфрамовыми эмиттерами с "внешним" и "внутренним" источниками кислорода с точки зрения их эмиссионных свойств и влияния на последние "кислородного эффекта" [1-4].

2. Исследовались фрагменты цилиндрических монокристаллических вольфрамовых эмиттеров, полученных с помощью газофазной технологии, обеспечивающей введение кислорода в объем кристаллизующегося слоя [1,2]. Оже-спектры измерялись на высокотемпературном оже-спектрометре [3]. Спектры вторичной электронной эмиссии были получены на ионном микрозонде Полюс-3 [5]. Суммарное содержание кислорода в вольфраме определялось методом активации быстрыми нейтронами.¹

3. На рис. 1 в качестве примера приведены температурные зависимости работы выхода для кристаллографически ориентированных цилиндрических вольфрамовых эмиттеров. Кривая 1 соответствует "бескислородному" "дуплексному"² вольфраму с сильной монотекстурой [110] на боковой поверхности [6]. Кривые 2-4 соответствуют аналогичному образцу (вероятно с менее сильной текстурой [110]) при напуске в объем прибора кислорода от "внешнего" источника [7]. Кривая 5 взята из работы [4] и соответствует монокристаллическому кислородсодержащему газофазному вольфраму.

'Можно видеть, что "кислородный эффект от внешнего источника" действует только при напуске кислорода и при повышении температуры измерений резко ослабевает вплоть до полного исчезновения. "Кислородный эффект от внутреннего источника", наоборот, с ростом температуры измерений резко усиливается и при температурах выше 2000К достигает максимальной величины. При этом эффективная работа выхода цилиндрического эмиттера стабилизируется на уровне 5.2эВ.

Для выяснения различий в природе эффектов от "внутреннего" и от "внешнего" источников кислорода были выполнены исследования поверхности и приповерхностных слоев кислородсодержащего вольфрама. На рис. 2 представлены характерные примеры оже-спектров поверхности W(110), полученные Заславским³ непосредственно от нагретого образца при температурах до 2300К в условиях остаточного давления на уровне 10^{-5} Па. Было установлено, что в исходном состоянии поверхность кристалла, как это обычно демонстрируется, заполнена углеродом, кислородом и серой. При нагреве до 1100К уменьшается углеродный пик, становится хорошо различим пик серы, хорошо видны пики вольфрама и кислорода. При дальнейшем нагреве поверхность кристалла полностью очищается (в пределах чувствительности

¹ Измерения выполнены А.М. Сиренко (Сухумский физико-технический институт).

² Разработанный в [6] газофазный "дуплексный" вольфрамовый эмиттер представляет собой двухслойную трубку с внутренним слоем из "фторидного" поликристаллического вольфрама с текстурой [100] и наружным слоем из "хлоридного" поликристаллического вольфрама с текстурой [110].

³ Сухумский физико-технический институт.

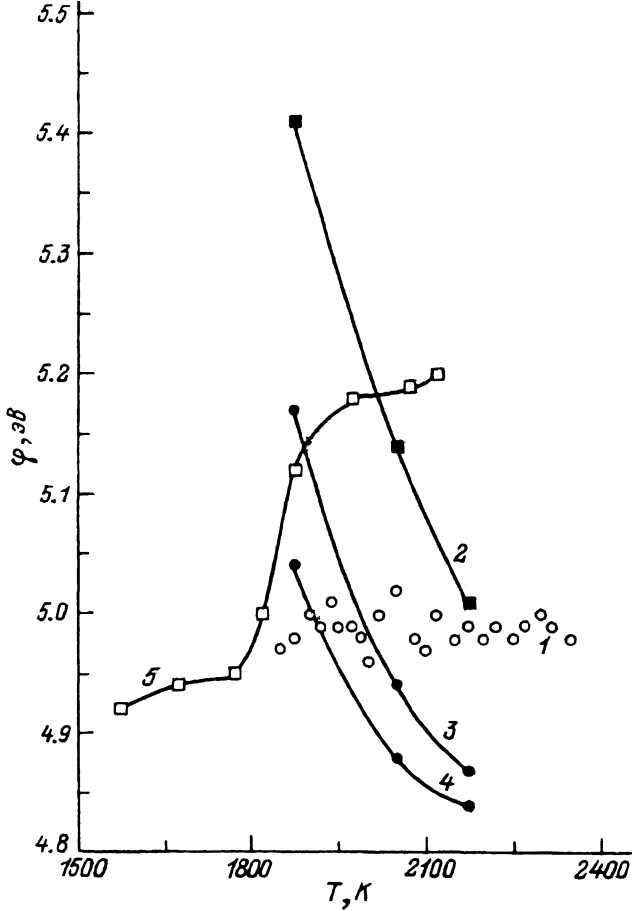


Рис. 1. Температурные зависимости работы выхода кристаллографически ориентированных вольфрамовых эмиттеров с цилиндрической эмиссионной поверхностью.

1 — газофазный “дуплексный” вольфрам с текстурой [110] в отсутствие каких-либо источников кислорода; 2-4 — то же самое при парциальном давлении кислорода в газовой фазе 10^{-4} , 10^{-5} , 10^{-6} Па соответственно; 5 — газофазный кислородсодержащий монокристаллический вольфрам с осевой ориентацией [111] (с “внутренним” источником кислорода).

методики, т. е. до 0.1 монослоя). На рис. 3 представлена температурная зависимость нормированной амплитуды оже-сигнала от наиболее трудно удаляемых примесей. Результат получился в значительной мере неожиданным. При нагреве до 1300 К происходит полное удаление углерода с поверхности кислородсодержащего вольфрама, т. е. происходит “самоочистка” поверхности вольфрама от углерода, что для обычного вольфрама представляется совершенно невероятным событием. Отсюда следует, что в той области температур, в которой были произведены измерения работы выхода, поверхность кристаллов кислородсодержащего вольфрама не содержала углерод. По мере дальнейшего нагрева постепенно снижается амплитуда кислородного пика, однако вплоть до конца исследованного интервала температур значи-

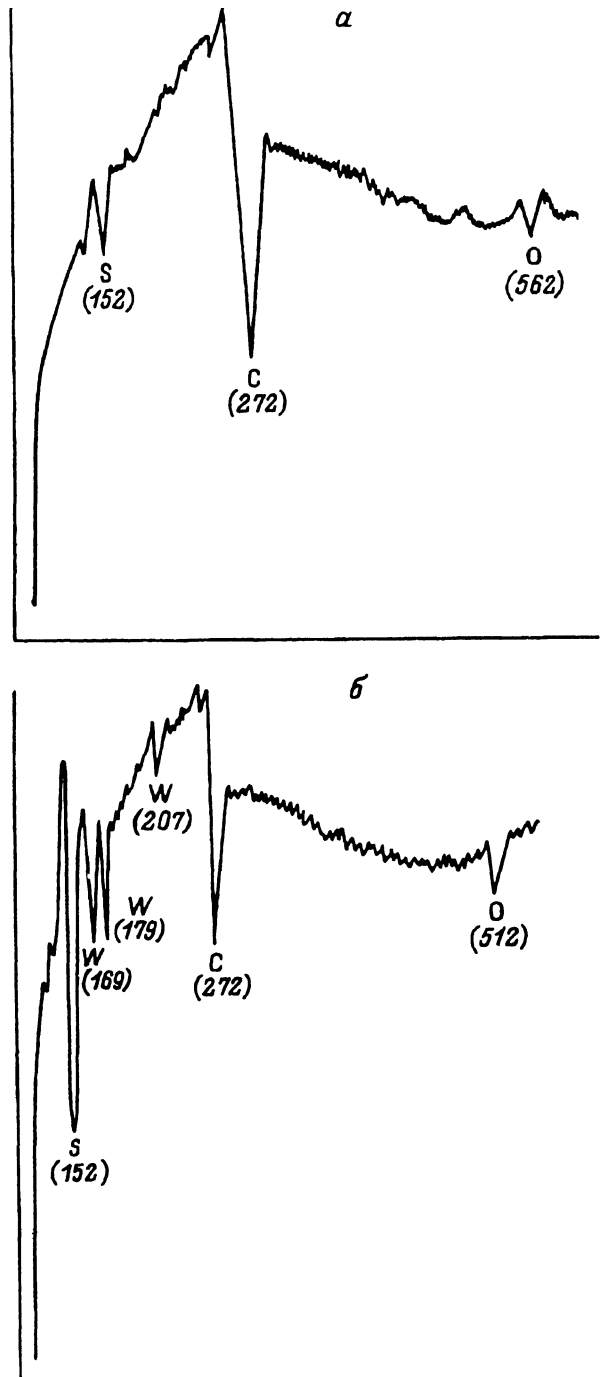


Рис. 2. Оже-спектры поверхности фрагмента трубчатого газофазного кислород-содержащего кристалла $\text{W}[111]$ с естественной огранкой плоскостями (110) при комнатной температуре (а) и при нагреве до 1100 К (б).

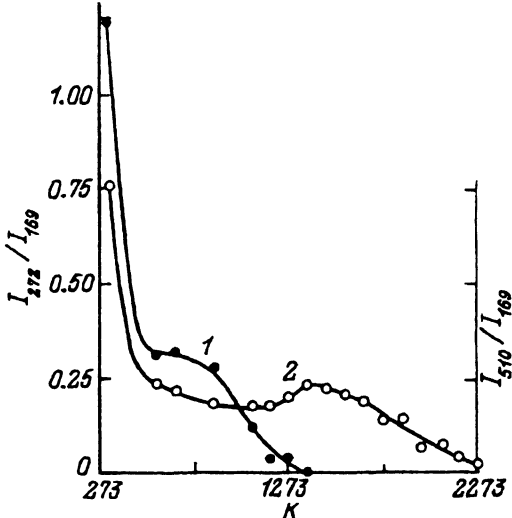


Рис. 3. Температурная зависимость нормированной амплитуды оже-сигналов от С (кривая 1) и О (кривая 2) на поверхности фрагмента грани (110) газофазного кислородсодержащего кристалла W[111].

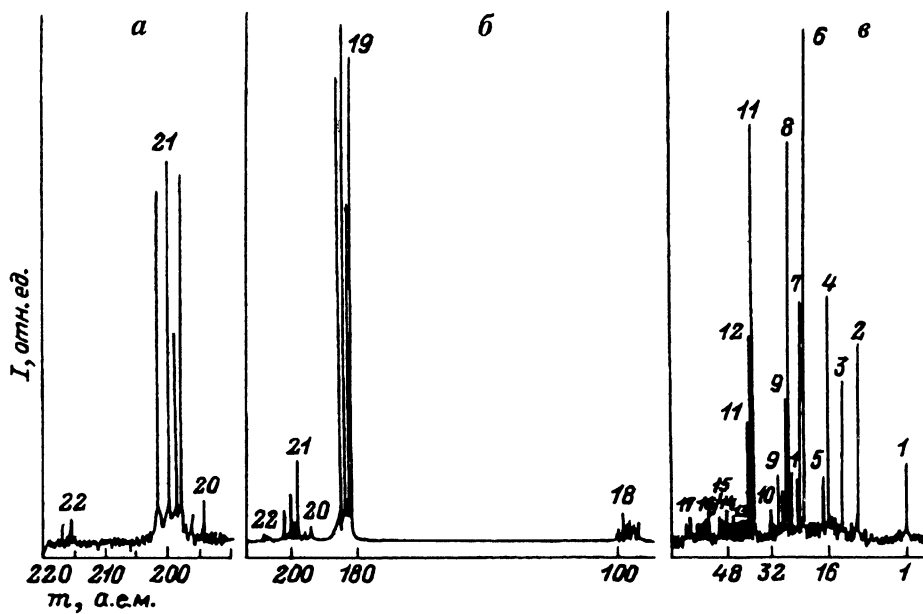


Рис. 4. Масс-спектр вторичных ионов приповерхностного слоя фрагмента грани (110) газофазного кислородсодержащего кристалла W[111].

a-e — различные части спектра (между "a" и "б" присутствия каких-либо масс обнаружено не было), логарифмическая шкала; *a, б* — чувствительность 10^{-10} А; *б* — чувствительность 10^{-8} А; 1 — H^+ (1); 2 — C^+ (12); 3 — N^+ (14); 4 — O^+ (16); 5 — OH^+ (17); 6 — Na^+ (23); 7 — Mg^+ (24-26); 8 — Al^+ (27); 9 — Si^+ (28-30); 10 — O^+ (32); 11 — K^+ (39,41); 12 — Ca^+ (40,44); 13 — Ti^+ (46-50); 14 — Cr^+ (52); 15 — Fe^+ (56); 16 — Ni^+ (58); 17 — Cu^+ (63,65); 18 — Mo^+ (92,94-98,100); 19 — W^+ (182-184,186); 20 — WC^+ (194,196,198); 21 — WO^+ (198-200,202); 22 — WO_2^+ (216,218).

тельная часть монослоя на поверхности кристалла остается покрытой кислородом.

Единственное, на наш взгляд, разумное объяснение этих аномалий связано с присутствием в объеме кристалла кислорода, который при высоких температурах измерений выходит на поверхность.

На рис. 4 представлены результаты ионно-зондовых исследований, дающие информацию о содержании примесей в приповерхностном слое кристалла. Примеси замещения содержатся на уровне от 10^{-3} (Na, Al, K) и 10^{-4} (Mg, Si, Ca) до 10^{-6} мас. % (Ti, Cr, Fe, Cu). Из примесей тяжелых металлов присутствует только молибден (10^{-2} мас. %). Примеси внедрения содержатся на уровне от 10^{-3} (O, C) до 10^{-5} мас. % (H, N). Основной примесью внедрения является кислород. Если учесть пики кислородсодержащих объектов вторичного происхождения (OH^+ , O_2^+), а также оксида WO^+ , то общее содержание кислорода в кристалле можно оценить как 10^{-2} – 10^{-3} мас. %. Объемное содержание кислорода по данным нейтронно-активационного анализа составляет $4.7 \cdot 10^{-3}$ мас. %, что хорошо коррелирует с ионно-зондовыми результатами.

Профиль распределения основных примесей, полученный распылением поверхности образца пучком ионов аргона непосредственно в микроанализаторе, показан на рис. 5. Эти результаты указывают на объемный характер распределения примесей кислорода и оксида WO . Однако электронно-микроскопические исследования не позволили при увеличениях до $\times 100\,000$ обнаружить признаков каких-либо выделений в объеме кристалла. Это дает основание полагать, что в объеме кристалла кислород не содержится в виде оксидных фаз, а появление вторичных ионов WO^+ является следствием образования поверхности оксидной пленки, возобновляемой по мере распыления. Таким образом, на поверхности кристалла, не подвергавшегося вакуум-термической обработке, присутствует пленка оксида WO , что согласуется с данными [8, 9]. В результате вакуумного отжига образуется поверхностное состояние типа субоксида W_3O [10], которое устойчиво вплоть до температуры 1800 К и ответственно за понижение работы выхода грани $\text{W}(110)$ на $\Delta\varphi_{\max} = -0.22$ эВ.

4. Взаимное сопоставление представленных блоков информации приводит к заключению, что сильная нелинейность полтермы работы выхода (рис. 1, кривая 5) связано с присутствием в кристалле вольфрама повышенного содержания кислорода. Присутствие кислорода, квазирастворенного в объеме вольфрамового кристалла (что связано с определенными особенностями газофазной технологии его приготовления [1, 2]), оказывает существенное влияние на высокотемпературные свойства такого материала, в частности на его термоэмиссионную эффективность.

Выход кислорода из объема кристалла на поверхность — термически активируемый диффузионный процесс, скорость которого зависит существенным образом от дефектности решетки твердого тела. В поликристаллическом вольфраме обезгаживание идет довольно быстро, так как работают границы зерен, с которыми, как правило, ассоциирована примесь кислорода. Интегральный коэффициент диффузии кислорода в поликристаллическом вольфраме $D \cong 3 \cdot 10^{-3} \text{ см}^2 \cdot \text{с}^{-1}$ при 2000 К [11]. Отсюда следует, что при содержании в вольфраме кисло-

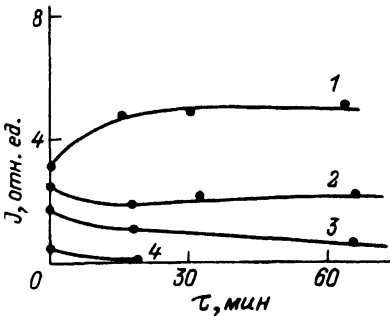


Рис. 5. Профили распределения примесей по глубине (данные МСВИ) фрагмента грани (110) газофазного кислородсодержащего кристалла W[111].

1 — WO⁺; 2 — O⁺; 3 — C⁺; 4 — WC⁺.

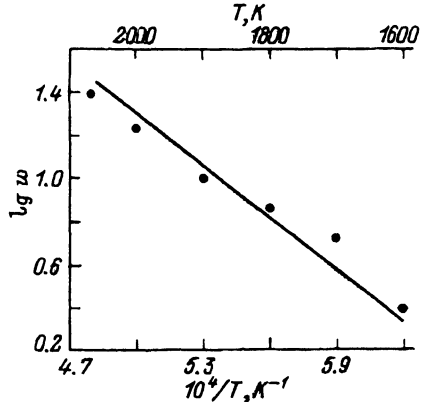


Рис. 6. Температурная зависимость выходной электрической мощности ω экспериментальных цилиндрических ТЭП с эмиттерами из трубчатых газофазных кислородсодержащих кристаллов W[111] (экспериментальные точки усреднены по характеристикам двух приборов).

рода на уровне 10^{-3} — 10^{-4} мас. % для полного обезгаживания пластинки толщиной 1 мм потребуется минутный высоковакуумный отжиг при 2000 К. В монокристалле вольфрама такие мощные стоки, как межзеленевые границы, отсутствуют и скорость удаления кислорода будет определяться ансамблем дефектов в кристалле (субграници, индивидуальные дислокации). По данным [12] коэффициент диффузии в этом случае составляет $D \cong 3 \cdot 10^{-7} \text{ см}^2 \cdot \text{с}^{-1}$ при температуре 2000 К. Там же приведено расчетное значение для "бездефектного" кристалла вольфрама $D \cong 10^{-9} \text{ см}^2 \cdot \text{с}^{-1}$ при температуре 2000 К. Соответственно для обезгаживания монокристаллической пластинки толщиной 1 мм потребуется несколько десятков часов отжига, а для "бездефектного" кристалла — тысячи часов.

Таким образом, при каждой данной температуре поверхностное состояние кислорода на кристалле вольфрама с "внутренним" кислородным источником является результатом компромисса между потоком атомов кислорода из объема кристалла, потоком молекул кислорода из окружающей газовой среды на поверхность и десорбионным потоком кислорода от поверхности в газовый объем.

С этих позиций можно следующим образом качественно трактовать ход деформированных политеческих работ выхода и тем самым прояснить сущность действия "кислородного эффекта от внутреннего источника" [13]. Низкотемпературное наклонное плато (1600—1700 К) отражает установление динамического равновесия в результате конкуренции между усиливающимся потоком кислорода из "внутреннего" непостоянного (зависящего от температуры) источника и десорбионного потока с поверхности в газовую fazu. В этой области температур термически устойчив субоксид вольфрама, который образует на поверхности двумерную пленку и определяет пониженную работу выхода поверхности. В области скачкообразного возрастания работы выхода (1800—1900 К), с одной стороны, теряет стабильность субоксид

вольфрама, с другой, экспоненциально усиливается поступление кислорода из "внутреннего" источника на поверхность кристалла, а с третьей, также резко усиливается десорбция кислорода с поверхности. В результате устанавливается новое динамическое равновесие на более высоком температурном уровне и появляется высокотемпературное наклонное плато (при температурах выше 2000 К), которому соответствует присутствие на поверхности кристалла слоя адатомов кислорода с различной степенью покрытия. Это согласуется с данными [14-17], которые свидетельствуют о максимальном повышении работы выхода поверхности вольфрама в случае адсорбции кислорода без образования химических связей с материалом подложки.

Подтверждением сказанному является близкая к линейной аррениусова зависимость выходной электрической мощности экспериментальных ТЭП⁴ с кислородсодержащими монокристаллическими вольфрамовыми эмиттерами (рис. 6). Интересно отметить, что кажущаяся энергия активации, полученная из наклона этой зависимости ($Q \cong 150 \text{ кДж} \cdot \text{моль}^{-1}$), близка к энергии активации диффузии примесей внедрения в вольфраме ($Q \cong 100 \text{ кДж} \cdot \text{моль}^{-1}$).

В заключение можно указать, что в свете изложенных здесь результатов и соображений проблема ТЭП с кислородной добавкой может приобрести новое и весьма актуальное звучание.

Автор благодарен С.А. Заславскому, Б.М. Зыкову, А.Г. Каландаришвили, А.М. Сиренко, Ю.Л. Элошвили, чьей помощью он пользовался на разных этапах выполнения работы.

Список литературы

- [1] Кобяков В.П. // Тез. докл. II Междунар. конф. "Ядерная энергетика в космосе". Ч. 1. Сухуми, 1991. С. 38-39.
- [2] Кобяков В.П. // Кристаллография. В печати.
- [3] Кобяков В.П., Заславский С.А. // Высокочистые вещества. 1989. № 5. С. 75-82.
- [4] Кобяков В.П. // ЖТФ. 1976. Т. 66. Вып. 7. С. 169-174.
- [5] Кобяков В.П., Матиташвили А.А. // Высокочистые вещества. 1989. № 4. С. 220-223.
- [6] Lieb D., Rufeh F. // IEEE Conf. Rec. Thermionic Conv. Specialist. 9th Ann. Conf. New York, 1970. Р. 741-780.
- [7] Lieb D., Rufeh F. // 3rd Intern. Conf. on Thermionic Electr. Power Generation. Session F-46. FRG, 1972.
- [8] McC Carroll B. // J. Chem. Phys. 1967. Vol. 46. N 3. P. 863-869.
- [9] Рыбалко В.Ф., Колот В.Я., Фогель Я.М. // ФТТ. 1969. Т. 11. Вып. 5. С. 1404-1406.
- [10] Зыков Б.М., Кобяков В.П., Нардая Ю.И. // Высокочистые вещества. 1991. № 1. С. 71-80.
- [11] Jacobs A.J. // Nature. 1963. Vol. 200. N 4913. P. 1310-1311.
- [12] Lee C.H. // Nature. 1964. Vol. 203. N 4950. P. 1163.
- [13] Кобяков В.П. // Поверхность. 1991. № 11. С. 153-156.
- [14] Птушинский Ю.Г., Чуйков Б.А. // ФТТ. 1968. Т. 10. Вып. 3. С. 722-728.
- [15] Рыбалко В.Ф., Колот В.Я., Фогель Я.М. // ЖТФ. 1969. Т. 39. Вып. 9. С. 1717-1719.
- [16] Зингерман Я.П., Ищук В.А. // ФТТ. 1966. Т. 8. Вып. 3. С. 912-919.
- [17] Городецкий Д.А., Мельник Ю.П., Ясько А.А. // УФЖ. 1967. Т. 12. № 6. С. 970-976.

⁴ Сборка выполнена Ю.Л. Элошвили, испытания проведены в лаборатории А.Г. Каландаришвили (Сухумский физико-технический институт).